

# 有限温度下无质量 $\varphi^3$ 理论中角度 红外发散的正规化\*

陈相君 刘连寿

(华中师范大学粒子物理研究所 武汉 430070)

1994-11-11 收稿

## 摘要

讨论了无质量标量场  $\varphi^3$  理论三圈真空图中的角度红外发散以及它的维数正规化方案，并给出了它在  $D$  维空间的解析表达式。

**关键词** 无质量标量场，真空图，角度红外发散，维数正规化，解析表达式。

## 1 引言

在场论的微扰计算中，无质量场存在红外发散。在有限温度下，红外发散更严重。近年来的计算说明，在高圈情况下，出现一些新的特点。Y. Fujimoto 计算了无质量标量场  $\varphi^4$  理论的三圈真空图，图 1(a)。并指出在维数正规化方案下，零温部分的红外发散和有限温度下的红外发散相互抵消。因而重整化不需要考虑红外发散，而只须考虑紫外发散<sup>[1]</sup>。本文把 Y. Fujimoto 的思想应用到无质量标量场  $\varphi^3$  理论，计算了它的和  $\varphi^4$  理论相似的三圈真空图，图 1(b)。由于图 1(b) 中含有 6 个传播子，因此它的计算比图 1(a) 复杂得多。在计算中，我们碰到了  $\varphi^4$  理论没有的问题，即有角度积分的红外发散。 $\varphi^4$  理论中也有角度积分，但不是发散积分。

无质量场的红外发散是比较复杂的。有两种红外发散，一种是动量趋于 0 引起的红外发散；另一种是角度积分中出现的红外发散。后者也叫共线性红外发散<sup>[2]</sup>。在零温情况下，共线性红外发散也是存在的。例如，在  $e^+e^- \rightarrow q\bar{q}$  过程中，当能量很高，夸克的质量可忽略不计时，就出现了共线性红外发散<sup>[3]</sup>。文献 [2] 中给出的处理这种红外发散的正规化方案是截断的方法，因而不是协变的。本文将在维数正规化的方案下讨论这个问题，并给出发散的角度积分在  $D$  维空间的解析表达式。

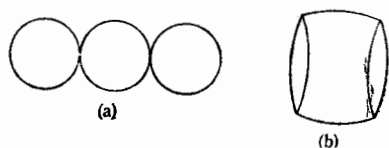


图 1

\* 国家自然科学基金资助。

## 2 图 1(b) 中的发散角度积分

用有限温度场论的实时形式进行计算, 其传播子为<sup>[4]</sup>

$$\frac{i}{k^2 + i\eta} + \frac{2\pi\delta(k^2)}{e^{\beta|k_0|} - 1}. \quad (1)$$

其中第一项是零温部分, 第二项是有限温度部分。

费曼图图 1(b) 的整个积分为

$$\begin{aligned} I &= (-ig)^4 \int \frac{d^D p d^D q d^D k}{(2\pi)^{3D}} \left( \frac{i}{k^2 + i\eta} + \frac{2\pi\delta(k^2)}{e^{\beta|k_0|} - 1} \right)^2 \left( \frac{i}{p^2 + i\eta} + \frac{2\pi\delta(p^2)}{e^{\beta|p_0|} - 1} \right) \\ &\quad \cdot \left( \frac{i}{(p+k)^2 + i\eta} + \frac{2\pi\delta[(p+k)^2]}{e^{\beta|p_0+k_0|} - 1} \right) \left( \frac{i}{q^2 + i\eta} + \frac{2\pi\delta(q^2)}{e^{\beta|q_0|} - 1} \right) \\ &\quad \cdot \left( \frac{i}{(q+k)^2 + i\eta} + \frac{2\pi\delta[(q+k)^2]}{e^{\beta|q_0+k_0|} - 1} \right) \\ &= -g^4 \int \frac{d^D p d^D q d^D k}{(2\pi)^{3D}} \frac{1}{(k^2)^2 p^2 (p+k)^2 q^2 (q+k)^2} + (T \neq 0 \text{ 部分}). \end{aligned} \quad (2)$$

这里  $D = 4 - \varepsilon$ 。公式(2)右边的第一项为  $T = 0$  部分。在计算它时, 应用费曼参数化积分, 不涉及到角度积分。因而也不存在角度红外发散问题。在有限温度部分中, 由于存在

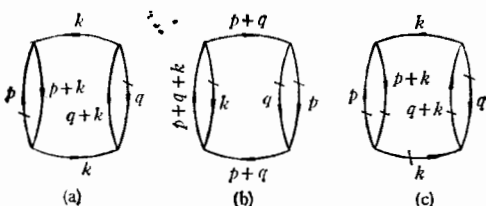


图 2

热传播子, 热传播子中含  $\delta$  函数, 因而在计算时, 不能仅仅用费曼参数化积分, 所以, 存在着角度积分。有些角度积分是平庸的, 明显为 0 的, 我们这里不列举。含有不为 0 的角度积分且是给出实部的项对应的费曼图为图 2 的(a)–(c)。其中——代表热传播子。先计算图 2(a)。

$$\begin{aligned} I_a &= (-ig)^4 \int \frac{d^D p d^D q d^D k}{(2\pi)^{3D}} \frac{i^4}{(p+k)^2 (q+k)^2 (k^2)^2} \cdot \frac{2\pi\delta(p^2)}{e^{\beta|p_0|} - 1} \cdot \frac{2\pi\delta(q^2)}{e^{\beta|q_0|} - 1} \\ &= g^4 \int \frac{d^D p d^D q d^D k}{(2\pi)^{3D}} \int_0^1 dx dy dz \frac{z\Gamma(4)\delta(x+y+z-1)}{[k^2 + p^2x(1-x) + q^2y(1-y) - 2pqxy]^4} \\ &\quad \cdot \frac{2\pi\delta(p^2)}{e^{\beta|p_0|} - 1} \frac{2\pi\delta(q^2)}{e^{\beta|q_0|} - 1} \\ &= \frac{ig^4 T \left(2 + \frac{\varepsilon}{2}\right)}{(4\pi)^{D/2}} \int_0^1 dx dy dz \frac{z\delta(x+y+z-1)}{(xy)^{1+\frac{\varepsilon}{2}}} \int \frac{d^{D-1} p d^{D-1} q}{(2\pi)^{2D-2}} \\ &\quad \cdot \frac{1}{2^3} \frac{1}{|\mathbf{p}|^{3+\frac{\varepsilon}{2}} |\mathbf{q}|^{3+\frac{\varepsilon}{2}}} \frac{1}{e^{\beta|\mathbf{p}|} - 1} \frac{1}{e^{\beta|\mathbf{q}|} - 1} \left( \frac{1}{(1 - \cos\theta)^{1+\frac{\varepsilon}{2}}} + (-1)^{1+\frac{\varepsilon}{2}} \right. \\ &\quad \left. \cdot \frac{1}{(1 + \cos\theta)^{1+\frac{\varepsilon}{2}}} \right). \end{aligned} \quad (3)$$

其中  $\theta$  是  $\mathbf{p}$  和  $\mathbf{q}$  之间的夹角。这里出现了关于角度的积分, 在通常的意义下, 它是发散的。因为  $\cos\theta = 1$  或  $\cos\theta = -1$  分别是被积函数的奇点。

零温情况下, 在  $e^+e^- \rightarrow q\bar{q}$  过程中, 夸克的质量忽略时, 外动量满足  $p^2 = 0$  的质壳关系, 这时也出现发散的角度积分。这里是真空图计算, 没有外动量, 内动量不受质壳关系限制, 故不出现角度积分。图 2(a) 是在有限温度下, 动量  $\mathbf{p}$  和动量  $\mathbf{q}$  处于热传播子状态, 有  $\delta(p^2)$  和  $\delta(q^2)$  限制, 要满足质壳关系, 故在积分中也存在发散的角度积分。

图 2(b) 的计算为

$$\begin{aligned}
 I_b = & (-ig)^4 \int \frac{d^D p d^D q d^D k}{(2\pi)^{3D}} \frac{i^3}{(p+q)^4 (p+q+k)^2} \cdot \frac{2\pi\delta(p^2)}{e^{\beta|\mathbf{p}_0|} - 1} \cdot \frac{2\pi\delta(q^2)}{e^{\beta|\mathbf{q}_0|} - 1} \\
 & \cdot \frac{2\pi\delta(k^2)}{e^{\beta|\mathbf{k}_0|} - 1} = -ig^4 \int \frac{d^{D-1} p d^{D-1} q d^{D-1} k}{(2\pi)^{3D-3}} \frac{1}{2^5 |\mathbf{p}| |\mathbf{q}| |\mathbf{k}|} \frac{1}{e^{\beta|\mathbf{p}|} - 1} \\
 & \cdot \frac{1}{e^{\beta|\mathbf{q}|} - 1} \frac{1}{e^{\beta|\mathbf{k}|} - 1} \times \left[ \frac{1}{\mathbf{p}^2 \mathbf{q}^2 (1 - \cos\theta)^2} \right. \\
 & \cdot \left( \frac{1}{|\mathbf{p}| |\mathbf{q}| (1 - \cos\theta) + (|\mathbf{p}| + |\mathbf{q}|) |\mathbf{k}| - |\mathbf{p} + \mathbf{q}| |\mathbf{k}| \cos\theta_k} \right. \\
 & + \frac{1}{|\mathbf{p}| |\mathbf{q}| (1 - \cos\theta) - (|\mathbf{p}| + |\mathbf{q}|) |\mathbf{k}| - |\mathbf{p} + \mathbf{q}| |\mathbf{k}| \cos\theta_k} \\
 & + \frac{1}{\mathbf{p}^2 \mathbf{q}^2 (1 + \cos\theta)^2} \\
 & \times \left( \frac{1}{-|\mathbf{p}| |\mathbf{q}| (1 + \cos\theta) + (|\mathbf{p}| - |\mathbf{q}|) |\mathbf{k}| - |\mathbf{p} + \mathbf{q}| |\mathbf{k}| \cos\theta_k} \right. \\
 & \left. \left. + \frac{1}{-|\mathbf{p}| |\mathbf{q}| (1 + \cos\theta) - (|\mathbf{p}| - |\mathbf{q}|) |\mathbf{k}| - |\mathbf{p} + \mathbf{q}| |\mathbf{k}| \cos\theta_k} \right] \right]. \quad (4)
 \end{aligned}$$

这里  $\theta$  是  $\mathbf{p}$  和  $\mathbf{q}$  之间的夹角,  $\theta_k$  是  $\mathbf{k}$  和  $\mathbf{p} + \mathbf{q}$  之间的夹角。公式(4)含有很复杂的角度积分,  $\cos\theta = 1$  或  $\cos\theta = -1$  分别是被积函数的奇点。为了便于判断发散, 我们寻找在奇点附近的渐近函数形式。把被积函数在奇点附近展开, 有

$$\begin{aligned}
 & \frac{1}{|\mathbf{p}| |\mathbf{q}| (1 - \cos\theta) + (|\mathbf{p}| + |\mathbf{q}|) |\mathbf{k}| - |\mathbf{p} + \mathbf{q}| |\mathbf{k}| \cos\theta_k} \\
 & + \frac{1}{|\mathbf{p}| |\mathbf{q}| (1 - \cos\theta) - (|\mathbf{p}| + |\mathbf{q}|) |\mathbf{k}| - |\mathbf{p} + \mathbf{q}| |\mathbf{k}| \cos\theta_k} \\
 & = \frac{1}{a_+ |\mathbf{k}| (1 - \cos\theta_k)} \left( 1 - \frac{|\mathbf{p}| |\mathbf{q}| (1 - \cos\theta)}{a_+ |\mathbf{k}| (1 - \cos\theta_k)} \right. \\
 & + \frac{\mathbf{p}^2 \mathbf{q}^2 (1 - \cos\theta)^2}{a_+^2 \mathbf{k}^2 (1 - \cos\theta_k)^2} - \dots \left. \right) - \frac{1}{a_+ |\mathbf{k}| (1 + \cos\theta_k)} \\
 & \cdot \left( 1 + \frac{|\mathbf{p}| |\mathbf{q}| (1 - \cos\theta)}{a_+ |\mathbf{k}| (1 + \cos\theta_k)} + \frac{\mathbf{p}^2 \mathbf{q}^2 (1 - \cos\theta)^2}{a_+^2 \mathbf{k}^2 (1 + \cos\theta_k)^2} + \dots \right) \\
 & = -\frac{2|\mathbf{p}| |\mathbf{q}| (1 - \cos\theta)}{a_+^2 \mathbf{k}^2 (1 - \cos\theta_k)^2} - \frac{2|\mathbf{p}|^3 |\mathbf{q}|^3 (1 - \cos\theta)^3}{a_+^4 \mathbf{k}^4 (1 - \cos\theta_k)^4} - \dots \quad (5)
 \end{aligned}$$

公式(5)是在  $\cos\theta = 1$  点展开的, 有  $|\mathbf{p} + \mathbf{q}| = |\mathbf{p}| + |\mathbf{q}| = a_+$ , 并考虑了

$$\int \frac{d\Omega_k}{(1 - \cos\theta_k)^N} = \int \frac{d\Omega_k}{(1 + \cos\theta_k)^N}, N = 1, 2, \dots \quad (6)$$

同理有,

$$\begin{aligned} & \frac{1}{-|\mathbf{p}||\mathbf{q}|(1 + \cos\theta) + (|\mathbf{p}| - |\mathbf{q}|)|\mathbf{k}| - |\mathbf{p} + \mathbf{q}||\mathbf{k}|\cos\theta_k} \\ & + \frac{1}{-|\mathbf{p}||\mathbf{q}|(1 + \cos\theta) - (|\mathbf{p}| - |\mathbf{q}|)|\mathbf{k}| - |\mathbf{p} + \mathbf{q}||\mathbf{k}|\cos\theta_k} \\ & = \frac{2|\mathbf{p}||\mathbf{q}|(1 + \cos\theta)}{a_-^2 k^2 (1 - \cos\theta_k)^2} + \frac{2|\mathbf{p}|^3 |\mathbf{q}|^3 (1 + \cos\theta)^3}{a_-^4 k^4 (1 - \cos\theta_k)^4} + \dots \end{aligned} \quad (7)$$

公式(7)是在  $\cos\theta = -1$  点展开的, 有  $|\mathbf{p} + \mathbf{q}| = ||\mathbf{p}| - |\mathbf{q}|| = |a_-|$ , 也考虑了公式(6)。

于是,  $I_b$  在奇点附近的渐近形式为

$$\begin{aligned} I_b = & -ig^4 \int \frac{d|\mathbf{p}| d|\mathbf{q}| d|\mathbf{k}|}{(2\pi)^{3D-3}} d\Omega_p d\Omega_q d\Omega_k \frac{|\mathbf{p}|^{-\epsilon} |\mathbf{q}|^{-\epsilon} |\mathbf{k}|^{-1-\epsilon}}{2^4} \left( \frac{1}{a_-^2} - \frac{1}{a_+^2} \right) \\ & \cdot \frac{1}{e^{\beta|\mathbf{p}|} - 1} \frac{1}{e^{\beta|\mathbf{q}|} - 1} \frac{1}{e^{\beta|\mathbf{k}|} - 1} \frac{1}{(1 - \cos\theta)} \frac{1}{(1 - \cos\theta_k)^2} + \dots \end{aligned} \quad (8)$$

这里也含有发散的角度积分。

图 2(c) 的计算为

$$\begin{aligned} I_c = & (-ig)^4 \int \frac{d^D p d^D q d^D k}{(2\pi)^{3D}} \frac{i}{k^2 + i\eta} \frac{2\pi\delta(k^2)}{e^{\beta|k_0|} - 1} \cdot \frac{2\pi\delta(p^2)}{e^{\beta|p_0|} - 1} \frac{2\pi\delta(q^2)}{e^{\beta|q_0|} - 1} \\ & \cdot \frac{2\pi\delta[(p+k)^2]}{e^{\beta|p_0+k_0|} - 1} \cdot \frac{2\pi\delta[(q+k)^2]}{e^{\beta|q_0+k_0|} - 1}. \end{aligned} \quad (9)$$

公式(9)中含有

$$\frac{1}{k^2 + i\eta} 2\pi\delta(k^2). \quad (10)$$

它是奇异的。用恒等式<sup>[3]</sup>

$$\frac{2}{k^2 + i\eta} \cdot 2\pi\delta(k^2) = \frac{\partial}{\partial k^2} 2\pi\delta(k^2) - i4\pi^2\delta^2(k^2), \quad (11)$$

把它去掉。当把公式(11)代入公式(9)时, 公式(11)右边的第二项给出虚部, 不考虑它。

于是, 有

$$\begin{aligned} I_c = & \frac{ig^4}{2} \int \frac{d^D p d^D q d^D k}{(2\pi)^{3D-5}} \left( \frac{\partial}{\partial k^2} \frac{\delta(k^2)}{e^{\beta|k_0|} - 1} \right) \frac{\delta(p^2)}{e^{\beta|p_0|} - 1} \frac{\delta[(p+k)^2]}{e^{\beta|p_0+k_0|} - 1} \\ & \cdot \frac{\delta(q^2)}{e^{\beta|q_0|} - 1} \frac{\delta[(q+k)^2]}{e^{\beta|q_0+k_0|} - 1} \\ = & ig^4 \int_0^\infty \frac{d|\mathbf{k}|}{(2\pi)^{3D-5}} \frac{d\Omega_p d\Omega_q d\Omega_k}{4^3 \beta^2} \left( \frac{\partial}{\partial |\mathbf{k}|} \frac{1}{|\mathbf{k}|} \frac{1}{e^{\beta|\mathbf{k}|} - 1} \right) \frac{1}{|\mathbf{k}|^{1+\epsilon}} \left( \frac{1}{e^{\beta|\mathbf{k}|} - 1} \right)^2 \\ & \cdot \left( \frac{1}{1 - \cos\theta_p} \frac{1}{1 - \cos\theta_q} + \frac{1}{1 + \cos\theta_p} \frac{1}{1 + \cos\theta_q} \right. \\ & \left. + \frac{1}{1 - \cos\theta_p} \frac{1}{1 + \cos\theta_q} + \frac{1}{1 + \cos\theta_p} \frac{1}{1 - \cos\theta_q} \right). \end{aligned} \quad (12)$$

它也含有发散的角度积分。这里  $\theta_p$  是  $p$  与  $k$  之间的交角。 $\theta_q$  是  $q$  和  $k$  之间的交角。

### 3 发散角度积分的正规化

上节我们计算了图 2 中的 3 个费曼图的积分, 都含有发散的角度积分。这些积分的一般形式为

$$\int \frac{dQ}{(1 - \cos \theta)^N}, N \geq 1. \quad (13)$$

积分在  $\cos \theta = 1$  点是发散的。我们要在维数正规化方案下对它正规化, 找寻它在  $D$  维空间的解析表达式。

对于无质量场, 维数正规化方案规定<sup>[2]</sup>

$$\int \frac{d^D k}{(2\pi)^D} \frac{1}{(k^2)^N} = 0, N \geq 2, 2N - D > 0. \quad (14)$$

这个公式等效于

$$\int_0^\infty \frac{dk}{k^{2N-3+\epsilon}} = 0. \quad (15)$$

由公式(15), 可推出

$$\int_0^1 dk \frac{1}{k^{2N-3+\epsilon}} = - \int_1^\infty dk \frac{1}{k^{2N-3+\epsilon}} = \frac{1}{-2N + 4 - \epsilon}. \quad (16)$$

令  $2N - 3 + \epsilon = Z$ , 有

$$\int_0^1 dk \frac{1}{k^Z} = \frac{1}{1-Z}, Z > 1. \quad (17)$$

公式(17)也可用  $\beta$  函数表示之, 有

$$\int_0^1 dk \frac{1}{k^Z} = B(1-Z, 1) = \frac{\Gamma(1-Z)\Gamma(1)}{\Gamma(2-Z)}. \quad (18)$$

在维数正规化方案下,

$$dQ = \prod_{l=1}^{D-2} \sin^{D-2-l} \theta_l d\theta_l = \sin^{1-\epsilon} \theta d\theta d\varphi \quad (19)$$

于是, 有

$$\int \frac{dQ}{(1 - \cos \theta)^N} = 2\pi \int_0^\pi \frac{\sin^{1-\epsilon} \theta d\theta}{(1 - \cos \theta)^N} = 2\pi \int_0^\pi \frac{(1 - \cos^2 \theta)^{-\frac{\epsilon}{2}} d(-\cos \theta)}{(1 - \cos \theta)^N}, \quad (20)$$

经过一些数学推导, 公式(20)变为

$$\begin{aligned} \int \frac{dQ}{(1 - \cos \theta)^N} &= \frac{2\pi}{2^{N-1+\epsilon}} \int_0^1 dx x^{-\frac{\epsilon}{2}} (1-x)^{-\frac{\epsilon}{2}-N} \\ &= \frac{2\pi}{2^{N-1+\epsilon}} \frac{\Gamma\left(1-N-\frac{\epsilon}{2}\right)\Gamma\left(1-\frac{\epsilon}{2}\right)}{\Gamma(2-N-\epsilon)}. \end{aligned} \quad (21)$$

这就是发散角度积分在  $D$  维空间的解析表达式, 实现了发散角度积分的正规化。从公式

(21)看出,只有 $N=1$ 时,有角度红外发散。

在 $I_a$ 、 $I_b$ 和 $I_c$ 中运用公式(21),有

$$I_a = -\frac{3ig^4}{2^{11}\pi^6} \int_0^1 dx dy dz \frac{z\delta(x+y+z-1)}{(xy)^{1+\frac{\epsilon}{2}}} \int_0^\infty dp dq \frac{p^{-1-\frac{3\epsilon}{2}}}{e^{\beta p}-1} \frac{q^{-1-\frac{3\epsilon}{2}}}{e^{\beta q}-1} + \dots, \quad (22)$$

$$I_b = \frac{ig^4}{2^9\pi^6} \int_0^\infty dp dq dk \frac{1}{e^{\beta p}-1} \frac{1}{e^{\beta q}-1} \left(\frac{1}{a_-^2} - \frac{1}{a_+^2}\right) \frac{k^{-1-\epsilon}}{e^{\beta k}-1} \Gamma\left(-\frac{\epsilon}{2}\right) + \dots, \quad (23)$$

$$I_c = \frac{ig^4}{2^7\pi^4} \int_0^\infty dk \frac{1}{\beta^2} \left(\frac{\partial}{\partial k} \frac{1}{k} \frac{1}{e^{\beta k}-1}\right) \frac{1}{k^{1+\epsilon}} \left(\frac{1}{e^{\beta k}-1}\right)^2 \Gamma^2\left(-\frac{\epsilon}{2}\right) + \dots, \quad (24)$$

$I_a$ 中无角度红外发散, $I_b$ 中有一个角度红外发散, $I_c$ 中含有两个角度红外发散。另外, $I_a$ 、 $I_b$ 和 $I_c$ 中还含有其它形式的红外发散。如 $I_a$ 中含零温部分的红外发散和有限温度红外发散, $I_b$ 和 $I_c$ 中也还含有限温度的红外发散。关于有限温度下红外发散的寻找见参考文献[6]。考虑这些红外发散后,有

$$I_a = -\frac{ig^4}{3 \times 2^9\pi^6} \frac{1}{\epsilon^3} + \dots, \quad (25)$$

$$I_b = \frac{-ig^4}{2^9\pi^6} \int_0^\infty dp dq \frac{1}{e^{\beta p}-1} \frac{1}{e^{\beta q}-1} \left(\frac{1}{a_-^2} - \frac{1}{a_+^2}\right) \frac{1}{\epsilon^2} + \dots, \quad (26)$$

$$I_c = \frac{-ig^4}{15 \times 2^{10}\pi^4} \frac{1}{\epsilon^3} + \dots. \quad (27)$$

公式(25)–(27)只给出了红外发散的最高次幂。

#### 4 直到三圈其它真空图的角度红外发散

上面讨论了在计算三圈真空图图1(b)碰到的角度发散积分及其正规化问题。无质量标量场 $\varphi^3$ 理论还有一个三圈真空图,如图3(c)。考虑直到三圈真空图时,还有一个单圈真空图和一个双圈真空图,见图3(a)、(b)。那么它们的角度红外发散怎样呢?我们计

算了它们,发现单圈真空图和双圈真  
空图不存在发散的角度积分,因而没  
有角度红外发散。另一个三圈真空图  
(图3(c))存在发散的角度积分。

图3(c)中给出实部并含有发散  
角度积分的项有四个,它们分别对应  
图4的四个费曼图。图4(a)、(b)的

计算中含有的发散角度积分和图2(a)一样,可用(21)式进行正规化。正规化后,不含有角度红外发散。图4(c)、(d)的发散角度积分复杂一些,它的正规化除用(21)式外,还要用到(20)式的另外一种形式——渐近展开形式。

在(20)式中, $\theta=0$ 是被积函数的奇点。在 $\theta=0$ 点展开被积函数,考虑它的渐近形式后有

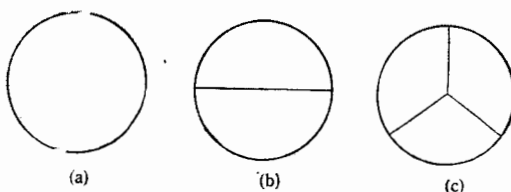


图 3

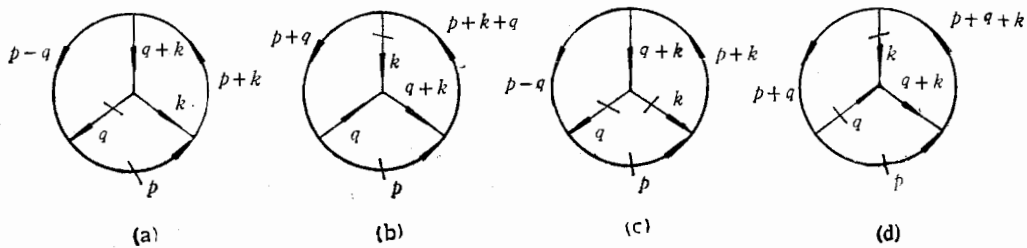


图 4

$$\int \frac{d\Omega}{(1 - \cos\theta)^N} = 2\pi \int_0^\pi \frac{\sin^{1-\varepsilon}\theta d\theta}{(1 - \cos\theta)^N} \sim 2\pi \int_0^1 \frac{\theta^{1-\varepsilon} d\theta}{\left(\frac{\theta^2}{2}\right)^N} = \frac{2\pi 2^N}{2 - 2N - \varepsilon}. \quad (28)$$

当  $N = 1$  时存在角度红外发散并和(21)式给出的结果一致。它就是渐近展开形式。

对应图 4(c) 的计算为

$$\begin{aligned} I'_c &= (-ig)^4 \int \frac{d^D p d^D q d^D k}{(2\pi)^{3D}} \frac{2\pi\delta(p^2)}{e^{\beta|p_0|} - 1} \frac{2\pi\delta(q^2)}{e^{\beta|q_0|} - 1} \frac{2\pi\delta(k^2)}{e^{\beta|k_0|} - 1} \\ &\quad \cdot \frac{i^3}{(p+k)^2(q+k)^2(p-q)^2} \\ &= \frac{ig^4}{32} \int \frac{d|\mathbf{p}| d|\mathbf{q}| d|\mathbf{k}|}{(2\pi)^{3D-3}} d\Omega_p d\Omega_q d\Omega_k \frac{|p|^{-1-\varepsilon}}{e^{\beta|p_0|} - 1} \frac{|q|^{-1-\varepsilon}}{e^{\beta|q_0|} - 1} \frac{|k|^{-1-\varepsilon}}{e^{\beta|k_0|} - 1} \\ &\quad \times \left( \frac{1}{(1 - \cos\theta_p)(1 - \cos\theta_q)(1 - \cos\theta_{pq})} \right. \\ &\quad + \frac{1}{(1 + \cos\theta_p)(1 + \cos\theta_q)(1 - \cos\theta_{pq})} \\ &\quad + \frac{1}{(1 - \cos\theta_p)(1 + \cos\theta_q)(1 + \cos\theta_{pq})} \\ &\quad \left. + \frac{1}{(1 + \cos\theta_p)(1 - \cos\theta_q)(1 + \cos\theta_{pq})} \right) \end{aligned} \quad (29)$$

其中  $\theta_p$  是  $\mathbf{p}$  与  $\mathbf{k}$  之间的夹角,  $\theta_q$  是  $\mathbf{q}$  和  $\mathbf{k}$  之间的夹角,  $\theta_{pq}$  是  $\mathbf{p}$  和  $\mathbf{q}$  之间的夹角。

$$\cos\theta_{pq} = \sin\theta_p \sin\theta_q \cos(\varphi_p - \varphi_q) + \cos\theta_p \cos\theta_q \quad (30)$$

(29)式中的角度积分是发散的, 因为  $\cos\theta_p = 1$  或  $\cos\theta_p = -1$  分别是被积函数的奇点。因而我们需要找出它在奇点附近的渐近形式。对于  $\cos\theta_p = 1$  的奇点, 在  $\theta_p = 0$  点展开。对于  $\cos\theta_p = -1$  的奇点, 先进行  $\theta'_p = \pi - \theta_p$  变换, 再在  $\theta'_p = 0$  点展开。由于  $\cos\theta_q = 1$  或  $\cos\theta_q = -1$  也分别是被积函数的奇点, 也需要找出在它们附近的渐近形式。但因被积函数对于  $\cos\theta_p$  和  $\cos\theta_q$  有对称性, 所以, 考虑两种奇点时是仅考虑一种奇点时的 2 倍。于是有

$$I'_c = \frac{ig^4}{2} \int_0^\infty \frac{d|\mathbf{p}| d|\mathbf{q}| d|\mathbf{k}|}{(2\pi)^{3D-3}} d\Omega_k d\Omega_q 2\pi\theta_p^{1-\varepsilon} d\theta_p$$

$$\begin{aligned} & \frac{|\mathbf{p}|^{-1-\varepsilon}}{e^{\beta|\mathbf{p}|}-1} \frac{|\mathbf{q}|^{-1-\varepsilon}}{e^{\beta|\mathbf{q}|}-1} \frac{|\mathbf{k}|^{-1-\varepsilon}}{e^{\beta|\mathbf{k}|}-1} \left( \frac{1}{\theta_p^2} \frac{1}{(1-\cos\theta_q)^2} \right) + \dots \\ & = \frac{ig^4}{2^9\pi^6} \frac{1}{\varepsilon^4} + \dots \end{aligned} \quad (31)$$

对费曼图图4(d)进行计算,和 $I'_c$ 情况相似,有

$$\begin{aligned} I'_d &= (-ig)^4 \int \frac{d^D p d^D q d^D k}{(2\pi)^{3D}} \frac{2\pi\delta(p^2)}{e^{\beta|\mathbf{p}_0|}-1} \frac{2\pi\delta(q^2)}{e^{\beta|\mathbf{q}_0|}-1} \frac{2\pi\delta(k^2)}{e^{\beta|\mathbf{k}_0|}-1} \\ &\quad \cdot \frac{i^3}{(p+q)^2(q+k)^2(p+q+k)^2} \\ &= -\frac{ig^4}{32} \int_0^\infty \frac{d|\mathbf{p}| d|\mathbf{q}| d|\mathbf{k}|}{(2\pi)^{3D-3}} dQ_p dQ_q dQ_k \frac{|\mathbf{p}|^{-\varepsilon}}{e^{\beta|\mathbf{p}|}-1} \frac{|\mathbf{k}|^{-\varepsilon}}{e^{\beta|\mathbf{k}|}-1} \frac{|\mathbf{q}|^{-1-\varepsilon}}{e^{\beta|\mathbf{q}|}-1} \\ &\quad \times \{ [(1-\cos\theta_p)(1-\cos\theta_k)|\mathbf{p}||\mathbf{q}|(1-\cos\theta_p) + |\mathbf{q}||\mathbf{k}|(1-\cos\theta_k) \\ &\quad + |\mathbf{p}||\mathbf{k}|(1-\cos\theta_{pk})]^{-1} + [(1+\cos\theta_p)(1+\cos\theta_k)(-|\mathbf{p}||\mathbf{q}| \\ &\quad \times (1+\cos\theta_p)) - |\mathbf{q}||\mathbf{k}|(1+\cos\theta_k) + |\mathbf{p}||\mathbf{k}|(1-\cos\theta_{pk})]^{-1} \\ &\quad + [(1-\cos\theta_p)(1+\cos\theta_k)(-|\mathbf{p}||\mathbf{q}|(1-\cos\theta_p)) \\ &\quad + |\mathbf{q}||\mathbf{k}|(1+\cos\theta_k) + |\mathbf{p}||\mathbf{k}|(1+\cos\theta_{pk})]^{-1} \\ &\quad + [(1+\cos\theta_p)(1-\cos\theta_k)|\mathbf{p}||\mathbf{q}|(1+\cos\theta_p) \\ &\quad - |\mathbf{q}||\mathbf{k}|(1-\cos\theta_k) + |\mathbf{p}||\mathbf{k}|(1+\cos\theta_{pk})]^{-1} \} \\ &= -\frac{ig^4}{2^9\pi^6} \frac{1}{\varepsilon^4} + \dots \end{aligned} \quad (32)$$

(31)式和(32)式也只给出了领头的发散项。虽然这两个积分的被积函数对 $\theta_p$ 和 $\theta_q$ (或 $\theta_k$ )都有奇点,但是正规化后只有一个角度出现红外发散。除了角度红外发散外,这两个积分都含有有限温度下 $p, q$ 和 $k$ 的红外发散,因而最高发散项是 $\frac{1}{\varepsilon^4}$ 项。因图1(b)的红外发散最高次项是 $\frac{1}{\varepsilon^3}$ 项,所以,图3(c)的红外发散比图1(b)更严重。

## 5 结 论

本文讨论了无质量标量场 $\varphi^3$ 理论直到三圈真空图中的角度积分。计算说明在单圈真空图和双圈真空图中不存在发散的角度积分,而在三圈真空图中存在着复杂的发散角度积分。本文并讨论了在维数正规化方案下,这些发散角度积分的正规化问题,给出了正规化的解析表达式,从而提供了一种寻找角度红外发散的方法。

作者感谢李家荣教授在本工作中给予的有益讨论。

### 参 考 文 献

- [1] Y. Fujimoto, M. Loewe, J. C. Rojas, Dimensional Regularization at Finite Temperature, to be published in Z. Phys. C.
- [2] T. Muta, Foundations of Quantum Chromodynamics—an Introduction to Perturbative Methods in Gauge Theories, World Scientific, 1987.
- [3] 戴元本, 相互作用的规范理论, 科学出版社, 1987.
- [4] L. Dolan, R. Jackiw, *Phys. Rev.*, D9 (1974) 3320.
- [5] A. J. Niemi, G. W. Semenoff, *Nucl. Phys.*, B236(1984)181.
- [6] Chen Xiangjun, Y. Fujimoto, Dimensional Regularization and Analytical Continuation at Finite Temperature, Huazhong Normal University Preprint, 1994.

## Regularization of Angular Infrared Divergence of Massless $\varphi^3$ Theory at Finite Temperature

Chen Xiangjun    Liu Lianshou

*(Institute of Particle Physics, Hua-Zhong Normal University, Wuhan 430070)*

Received 11 November 1994

### Abstract

The angular infrared divergences of three-loop vacuum graph in the massless scalar field  $\varphi^3$  theory and the scheme of dimensional regularization for these divergences are discussed. Its analytical expression in  $D$ -dimensional space is given.

**Key words** massless scalar field, vacuum graph, angular infrared divergence, dimensional regularization, analytical expression.